

ОБЪЕДИНЕННЫЙ
ИНСТИТУТ
ЯДЕРНЫХ
ИССЛЕДОВАНИЙ
ДУБНА

P4-85-572

А.И.Вдовин, Ф.А.Гареев, С.Н.Ершов, М.Мора*,
В.Ю.Пономарев

ВОЗБУЖДЕНИЕ 0^- СОСТОЯНИЙ
В РЕАКЦИИ
НЕУПРУГОГО РАССЕЯНИЯ ПРОТОНОВ
ПРОМЕЖУТОЧНОЙ ЭНЕРГИИ

Направлено в журнал "Ядерная физика".

*

Московский государственный университет
им. М. В. Ломоносова.

1985

В спектре ядерных возбуждений однофононные состояния с $L^\pi = 0^-$ выделены тем, что их прямое возбуждение из основного состояния ядра посредством электромагнитного взаимодействия сильнейшим образом подавлено. В приближении однофотонного поглощения приведенная вероятность γ -перехода $0^+ \rightarrow 0^-$ равна нулю, обращается в нуль в этом же приближении и сечение (e, e') -рассеяния с возбуждением 0^- уровней.

Таким образом, для изучения 0^- -состояний приходится привлекать реакции, в которых основную роль играет сильное взаимодействие. Зарядово-обменные 0^- -резонансы уже были обнаружены в реакциях с заряженными пионами в большой группе ядер от ^{40}Ca до ^{208}Pb [1]. Есть указания, что они обнаружены и в (p, n) -реакции при энергиях протонов $E_p = 200$ МэВ [2]. В том, что касается энергий возбуждения резонансов, экспериментальные данные [1, 2] неплохо согласуются с многочисленными теоретическими расчетами [3-5].

Экспериментальная информация о 0^- -состояниях в нейтральном канале (т.е. с $\Delta T_z = 0$) гораздо беднее. Отдельные 0^- -уровни с энергиями $E_x = 10, 952$ МэВ ($T = 0$) и $E_x = 12,795$ МэВ ($T = 1$) в ядре ^{16}O были обнаружены с помощью неупругого рассеяния протонов с $E_p = 65$ и 135 МэВ. Эти данные были успешно объяснены теорией [6]. Но для тех энергий возбуждения, где предположительно расположен 0^- -резонанс, данные отсутствуют.

Наиболее подходящим инструментом для изучения 0^- -состояний с $\Delta T_z = 0$ в настоящее время является (p, p') -рассеяние при энергиях $E_p = 100 - 300$ МэВ. Эта реакция хорошо освоена как экспериментаторами, так и теоретиками и очень удобна для изучения спин-изоспиновых возбуждений в ядрах [7]. С ее помощью уже получена богатая экспериментальная информация о состояниях с $L^\pi = 1^+$ и $\Delta T_z = 0$ в ядрах от ^{40}Ca до ^{208}Pb [8]. Поэтому в данной работе мы рассчитаем вероятность возбуждения 0^- -состояний в (p, p') -рассеянии при $E_p = 200$ МэВ и попытаемся ответить на вопрос о возможности их обнаружения в средних и тяжелых ядрах. Расчеты выполнены для ядра ^{90}Zr .

Структура 0^- -состояний рассчитывалась нами в приближении случайной фазы с сепарабельными спин-дипольными силами, радиальный формфактор которых выбран в виде $f(r) = dU/dr$, где U - потенциал Вудса - Саксона, который описывает среднее поле ядра:

$$V(\vec{r}_1, \vec{r}_2) = \frac{1}{2} (\alpha_0^{(1L)} + \alpha_1^{(1L)} \vec{\tau}_1 \vec{\tau}_2) \frac{dU}{dr_1} \frac{dU}{dr_2} [\sigma_1 Y_{1L}(\Omega_1)]_L [\sigma_2 Y_{1L}(\Omega_2)]_L. \quad (1)$$

Сепарабельное остаточное взаимодействие используется в квазичастично-фононной модели ядра (КФМ). Ее аппарат и необходимые уравнения детально изложены в обзорах [9] и здесь мы на этих вопросах останавливаться не будем. Параметры среднего поля и спаривательного сверхтекущего взаимодействия взяты нами из работы [10], где исследовались спин-дипольные 2^- -состояния.

Константы эффективных сил в КФМ – параметры модели. Их значения определяются по данным эксперимента, как правило – по энергиям возбуждения тех или иных ядерных состояний или резонансов [9]. Такие данные для собственно 0^- -состояний частично-диорочной природы в средних и тяжелых ядрах отсутствуют. Следовательно, константы спин-дипольных сил $\tilde{\alpha}_0^{(10)}$ ($L=0$) придется определять косвенными способами. Для сепарабельных мультипольных сил с радиальным формфактором $f(r) = dU/dr$ вполне удовлетворительным оказывается приближение, согласно которому константы $\tilde{\alpha}_0^{(\omega)}$ и $\tilde{\alpha}_1^{(\omega)}$ не зависят от мультипольности [11]. Если это приближение справедливо и для спин-мультипольных сил, то значение $\tilde{\alpha}_1^{(10)}$ можно было бы определить по данным о положении MI-резонанса [8]. С другой стороны, близость энергий возбуждения гамов-теллеровского и изобараналогового резонансов в тяжелых ядрах указывает, что спин-изоспиновая составляющая эффективного взаимодействия нуклонов в ядре должна быть примерно той же силы, что и изоспиновая [12]. Для взаимодействия нуклонов в КФМ это означает, что $\tilde{\alpha}_1^{(10)}$ должна быть близка к константе изовекторного дипольного взаимодействия $\tilde{\alpha}_1^{(1)}$, которую можно определить по данным о EI-резонансе.

Эти два способа определения $\tilde{\alpha}_1^{(10)}$ дают результаты, различающиеся в 1,5 – 3 раза. Результаты расчетов других авторов, полученные с более реалистическими эффективными NN-силами [4, 5, 13], близки к нашим, если мы используем меньшие значения $\tilde{\alpha}_1^{(10)}$, т.е. значение $\tilde{\alpha}_1^{(10)} = \tilde{\alpha}_1^{(1)}$. Такое же значение констант изовекторных спин-дипольных сил было использовано в работе [14] при анализе возможностей выделения вклада крутильной моды в спектре неупругого рассеянных медленных электронов. С этими же значениями $\tilde{\alpha}_1^{(10)} = \tilde{\alpha}_1^{(1)}$ выполнена основная часть расчетов в настоящей работе. В дальнейшем будем называть эти значения $\tilde{\alpha}_1^{(10)}$ "базовыми" и обозначать $\tilde{\alpha}_1$.

Для выбора отношения констант $\tilde{\alpha}_0^{(10)}$ и $\tilde{\alpha}_1^{(10)}$ можно воспользоваться экспериментальными данными об изоскалярном 1^+ -состоянии в ^{208}Pb [15]. Теоретический анализ этих данных показал [16], что положение и вероятность возбуждения этого состояния могут быть объяснены, лишь если предположить, что изоскалярное спин-спиновое взаимодействие гораздо слабее изовекторного. В настоящей работе мы использовали значение $\tilde{\alpha}_0^{(10)} = 0,1\tilde{\alpha}_1^{(10)}$.

Для предварительного качественного анализа спектра одиночонных 0^- -состояний мы рассчитали отклик ядра на внешнее поле следующего вида:

$$\sum_i r_i [\tilde{\sigma}_i Y_{1M}(\Omega_i)]_0 \quad (2)$$

$$\sum_i r_i [\tilde{\sigma}_i Y_{1M}(\Omega_i)]_0 \tau_i^3. \quad (3)$$

Результаты расчетов представлены на рис. I. Мы исследовали, как

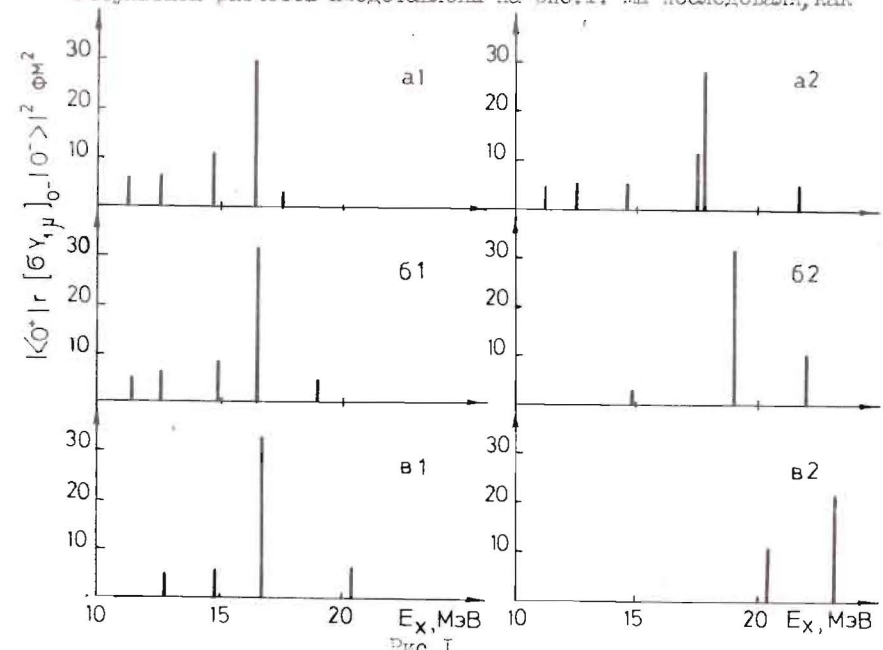


Рис. I

Сила отклика одиночонных 0^- -состояний ядра ^{90}Zr на изоскалярную (рис. Ia1, 61, b1) и изовекторную (рис. Ia2, 62, b2) составляющие внешнего поля $\sim r[\tilde{\sigma}_i Y_{1M}(\Omega_i)]_0$ (см. (2), (3)) при разных значениях констант а) $\tilde{\alpha}_1^{(10)} = 0,5\tilde{\alpha}_1$; б) $\tilde{\alpha}_1^{(10)} = \tilde{\alpha}_1$; в) $\tilde{\alpha}_1^{(10)} = 2\tilde{\alpha}_1$; $\tilde{\alpha}_0^{(10)} = 0,1\tilde{\alpha}_1^{(10)}$.

зависят результаты от величины $\tilde{\alpha}_1^{(10)}$. При "базовом" значении $\tilde{\alpha}_1^{(10)} = \tilde{\alpha}_1$ максимум "изовекторной" функции отклика (3) расположен при энергии возбуждения $E_x \sim 19$ МэВ (рис. Ia2). Это и есть изовекторный 0^- -резонанс. Он представляет собой колективное состояние; семь двухквазичастичных компонент дают в его нормировку вклад, превышающий 1%. Увеличение константы $\tilde{\alpha}_1^{(10)}$ приводит к быстрому возрастанию энергии изовекторного 0^- -резонанса (рис. Ia2). При значениях $\tilde{\alpha}_1^{(10)} \sim \tilde{\alpha}_1^{(1)}$ резонанс имеет $E_x \sim 30$ МэВ. Уменьшение константы $\tilde{\alpha}_1^{(10)}$ в два раза по сравнению с $\tilde{\alpha}_1$ вызы-

вает опускание резонанса на величину ~ 1 МэВ. Уже при этом значении константы изовекторное 0^- -состояние перестает быть коллективным, т.е. становится практически чисто двухквазичастичным; дальнейшее ослабление взаимодействия на его структуре и положении практически не оказывается. Заметим, что практически при любых значениях

$\chi_{\sigma_1}^{(10)}$ большая часть силы изовекторных переходов сосредоточена на одном 0^- -состоянии.

Столь же высока концентрация "изоскалярной" 0^- -силы (2) (см. рис IaI - IbI). Положение изоскалярного 0^- -резонанса малоизменяется к величине констант $\chi_{\sigma_1}^{(10)}$ x). Его структура оказалась неколлективной, в волновой функции доминируют одна-две двухквазичастичные компоненты.

Большой вклад в структуру резонансных 0^- -состояний (как изоскалярных, так и изовекторных) вносят частично-диорочные компоненты, отвечающие переходам с переворотом спина между одночастичными состояниями с большими орбитальными моментами. Например, волновая функция изоскалярного 0^- -резонанса в ^{90}Zr содержит две компоненты $(1g_{9/2}^{-1}1g_{9/2})$ и $(1f_{7/2}^{-1}1g_{7/2})$, которые складываются в фазе. Резонансный отклик этого состояния на внешнее поле (2) связан в первую очередь с большой величиной соответствующих одночастичных матричных элементов. Расчеты, выполненные нами для ^{208}Pb , дали аналогичные результаты.

Следует отметить, что использование при изучении 0^- -состояний сепарабельного остаточного взаимодействия (I) является очень сильным упрощением. Желательно иметь некоторую уверенность в том, что хотя бы интегральные черты силовых распределений в этих расчетах передаются правильно. С более реалистическими взаимодействиями (силы SG-II; контактное взаимодействие с учетом π - и p -обмена и др.) спин-дипольные резонансы с $\Delta T_z = 0$ изучались в работах [4, 5, 13]. Здесь также вычислялась функция отклика ядра на внешние поля типа (2), (3). Для изовекторного 0^- -резонанса наши результаты качественно согласуются с результатами работ [4, 5, 13], хотя его энергия возбуждения в ^{90}Zr получалась на 3-4 МэВ выше, чем у нас при $\chi_{\sigma_1}^{(10)} = \tilde{\chi}_{\sigma_1}$. На форму изоскалярной функции отклика очень сильно влияет не учтенная нами тензорная компонента эффективных NN-сил [4], поэтому в дальнейшем мы его обсуждать не будем.

^{x)} В расчетах, представленных на рис. I, значение $\chi_{\sigma_1}^{(10)}$ менялось пропорционально $\tilde{\chi}_{\sigma_1}^{(10)}$.

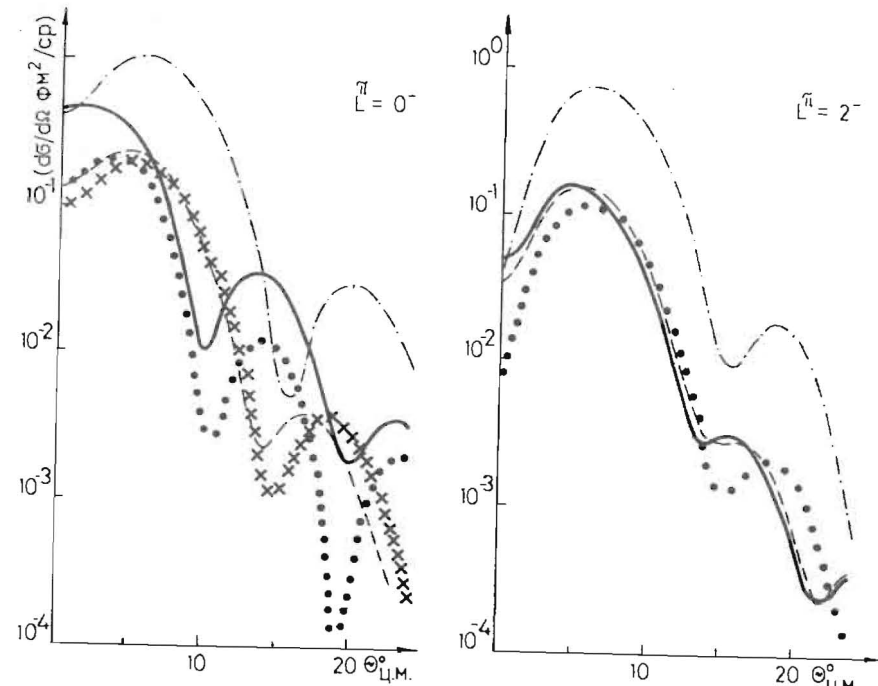


Рис. 2.

Сечения возбуждения резонансных 0^- - ($E_x = 19$ МэВ) и 2^- - ($E_x = 8,4$ МэВ) состояний ядра ^{90}Zr как функции угла рассеяния Θ , рассчитанные в разных приближениях для t_{NN} - взаимодействия:

— — — t_{NN} - взаимодействие содержит только центральные компоненты, обменное выбывание не учитывается;

• • • t_{NN} - взаимодействие содержит только центральные компоненты, обменное выбывание учитывается введением псевдопотенциала;

— · — t_{NN} - взаимодействие содержит только центральные компоненты, обменное выбывание учитывается точно;

· · · · · t_{NN} - взаимодействие содержит центральные и тензорные компоненты, обменное выбывание учитывается введением псевдопотенциала;

— — — t_{NN} - взаимодействие содержит центральные и тензорные компоненты, обменное выбывание учитывается точно.

Тот факт, что мы используем схематическое остаточное взаимодействие и дискретный одиноческий базис, включающий только связанные и квазивзаимные состояния, заметно упрощает численные расчеты структуры и переходных плотностей 0^- - состояний и позволяет нам с минимальным числом приближений рассчитывать сечение (p, p') -рассеяния. Расчеты сечения при энергии падающих протонов $E_p = 200$ МэВ мы провели в так называемом импульсном приближении метода искаженных волн (ИПМВ), суть которого состоит в том, что взаимодействие налетающего нуклона с нуклонами ядра выбирается в виде свободной t_{NN} -матрицы. ИПМВ успешно работает для энергий $E_p > 100$ МэВ. Параметризация t_{NN} -матрицы была выбрана в виде суммы потенциалов Юкавы, параметры которых определяются по амплитуде нуклон-нуклонного рассеяния при энергии 210 МэВ¹⁷⁾. Свободная t_{NN} -матрица включала центральные и тензорные компоненты (спин-орбитальное взаимодействие не дает вклада в возбуждение 0^- -состояний). Фазы рассеяния в поле ядра-мишени рассчитывались в зависящем от энергии и массового числа оптическом потенциале. Параметры оптического потенциала подгонялись по сечению упругого рассеяния протонов и анализирующей способности¹⁸⁾. Эффекты обменного выбивания нуклона учитывались точно - введением нелокального формфактора. В расчетах сечения использовалась программа из работ¹⁸⁾. В этой программе могут быть использованы волновые функции практически любой ядерной модели, для чего необходимо вычислить соответствующие локальные и нелокальные переходные плотности. В ней также точно учтен канал обменного выбивания нуклонов и центральные и тензорные компоненты t_{NN} -матрицы. В настоящей работе формфактор был получен сверткой параметризованной вышеописанным образом t_{NN} -матрицы с переходными плотностями однофононных возбужденных состояний, рассчитанными со взаимодействием (I) при базовых значениях констант.

В качестве первого шага был исследован вопрос о справедливости некоторых, часто используемых в рамках ИПМВ упрощений и приближений. Результаты соответствующих расчетов сечения возбуждения изовекторного 0^- -резонанса ($E_x = 19,05$ МэВ) ядра ^{90}Zr приведены на рис. 2 (слева). В простейшем приближении t_{NN} -взаимодействие включает только центральные компоненты, а эффекты выбивания не учитываются. Известно, что последний эффект очень важен, но его точный учет трудоемок и обычно используют процедуру введения псевдопотенциала. На рис. 2 видно, что для чисто центрального t_{NN} -взаимодействия такой способ учета обменного выбивания дает результаты, близкие к точным, особенно для углов $\theta < 10^\circ$. Для тензорной компоненты t_{NN} -взаимодействия описание обменных эффектов в приближении типа псевдопотенциала неправомочно. Если же в этом канале совсем не учитывать об-

мен, то результат будет сильно отличаться от точного (см. соответствующие кривые на рис. 2). Сравнение кривых на рис. 2 позволяет также утверждать, что тензорные компоненты t_{NN} -взаимодействия сильно влияют на теоретическое сечение (p, p') -рассеяния с возбуждением 0^- - состояний. Наиболее важным является изменение сечения при малых углах $\theta < 5^\circ$.

Сильная зависимость теоретического сечения возбуждения в неупругом рассеянии протонов от тензорных компонент t_{NN} -взаимодействия является отличительной особенностью 0^- - состояний. Для других спин-дипольных состояний, например, для состояний с $I^T = 2^+$, учет их не так важен. Это демонстрирует рис. 2 (справа), на котором изображено рассчитанное в тех же приближениях, что и на рис. 2 (слева), сечение возбуждения состояния 2^+ с энергией $E_x = 8,4$ МэВ^{x)} в ^{90}Zr . В этом случае на поведение сечения под малыми углами сильнее влияют приближения, связанные с обменным выбиванием нуклонов. Можно ли будет обнаружить 0^- -резонанс в (p, p') -рассеянии? Прежде всего, ясно, что поиски следует вести под малыми углами, с тем чтобы подавить вклад переходов с большими передаваемыми моментами. Тогда основная конкуренция будет идти между переходами с $\Delta I = 0$ и $\Delta I = 1$, т.е. между возбуждением состояний с $I^T = 1^+, 2^-, 1^-$ и 0^- . Расчеты в приближении случайной фазы показывают, что сила этих возбуждений в спектре ^{90}Zr распределена следующим образом^{10, 19, 20)}: в области энергий $E_x \sim 8 \div 10$ МэВ находятся известные из (p, p') - и (e, e') -рассеяния^{1/8, II/ MI}- и M2 - резонансы; при $E_x \sim 17 \div 20$ МэВ находится высоколежащая ветвь M2-резонанса, а при $E_x \sim 21 \div 25$ МэВ - спин-дипольный (трансверсальный) E1_T - резонанс и высоколежащий (образованный переходами с $\Delta I = 2$) MI-резонанс. Некоторые из этих резонансов - EI_T, высоколежащий MI) имеют малую вероятность

β - перехода в основное состояние, но все они интенсивно возбуждаются в неупругом рассеянии электронов на большие углы. Следует упомянуть еще о гигантском дипольном резонансе, который хорошо виден в (p, p') -рассеянии при промежуточных энергиях под малыми углами. Но ГДР расположен при энергии $E_x \sim 16$ МэВ и не должен давать заметный вклад в сечение в области изовекторного 0^- -резонанса ($E_x \sim 19$ МэВ).

Как мы видим, в той области E_x , где находится изовекторный 0^- -резонанс, основными его конкурентами будут 2^- - состояния. Однако тензорная часть взаимодействия падающего протона с нуклонами ядра вызывает существенно разное поведение сечений возбуждения 0^- и 2^- - состояний при малых углах. Для большей ясности мы изобразили

^{x)}При базовых значениях $\alpha_c^{(1)}$ это состояние имеет максимальную среди всех 2^- - состояний величину $B(M2, 0^+ \rightarrow 2^-)$.

соответствующие сечения на одном рисунке (рис. 3), там же приведено сечение возбуждения резонансного I^+ -состояния с $E_x = 8,9$ МэВ.

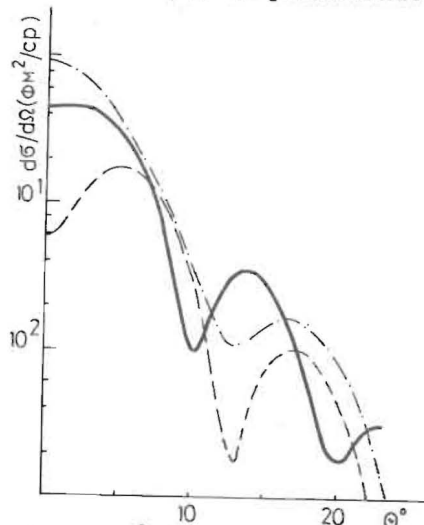


Рис. 3.

Сечения возбуждения I^+ -состояния с $E_x = 8,9$ МэВ (штрихпунктирная кривая), 2^- -состояния с $E_x = 17,9$ МэВ (пунктирующая кривая) и 0^- -состояния с $E_x = 19$ МэВ (сплошная кривая) ядра ^{90}Zr в зависимости от угла рассеяния Θ .

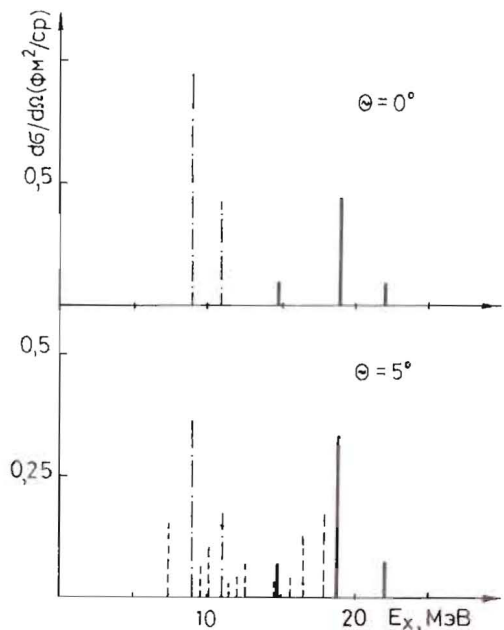
При $\Theta = 0^\circ$ изовекторный 0^- -резонанс возбуждается на порядок интенсивнее, чем $M2$ -резонанс, а поведение сечения $d\sigma/d\Omega(0^-)$ как функции Θ оказывается при малых углах ближе к поведению $d\sigma/d\Omega(I^+)$, чем к $d\sigma/d\Omega(2^-)$. Поэтому при $\Theta = 0^\circ$ возбуждаются преимущественно I^+ и 0^- -состояния, что можно видеть на рис. 4 (верхняя часть). Вклад 2^- -состояния становится заметен при $\Theta \geq 5^\circ$, т.е. после первого максимума в сечении возбуждения 2^- -уровня с $E_x = 8,4$ МэВ (рис. 4, нижняя часть).

На самом деле резонансные структуры, связанные с возбуждением 2^- -состояний, будут еще менее заметными, по крайней мере по двум причинам. В настоящих расчетах не учитывалось влияние на структуру 2^- -уровней спин-октупольных сил, которые вызывают более сильный разброс $M2$ -силы по однофононным 2^- -состояниям в интервале энергий 17–20 МэВ, т.е. уменьшают вероятность возбуждения отдельных однофононных состояний [13, 22]. Вторая причина – взаимодействие однофононных состояний с двухфононными. Как показали расчеты в рамках КМ [10, 20], это взаимодействие "размыивает" силу высоколежащих спин-дипольных I^- и 2^- -состояний, разбрасывает ее по интервалу энергии возбуждения $E_x \sim 10$ МэВ. В результате этого спин-дипольные I^- и 2^- -состояния при 20 МэВ должны образовывать фон (p, p')-реакции. Не так сильно фрагмен-

^{x)} Гигантский дипольный резонанс здесь не рассматривается (см. предыдущий абзац).

Рис. 4.

Сечение возбуждения I^+ - (штрихпунктир), 2^- - (пунктир) и 0^- - (сплошные линии) состояний ядра ^{90}Zr в (p, p')-рассечении при $E_p = 200$ МэВ.



тируется высоколежащий MI-резонанс /19/, но он расположен несколько выше интересующей нас области E_x .

Конечно, чтобы быть последовательными, мы должны исследовать влияние взаимодействия с двухфононными состояниями и на 0^- -резонанс. Пока это не сделано, можно только сослаться на результаты работы [4], где с учетом взаимодействия $1p - 1h$ и $2p - 2h$ конфигураций были рассчитаны функции отклика ядра ^{90}Zr на внешние поля типа (2), (3). Фрагментация 0^- -резонанса в этих расчетах получилась слабее, чем высоколежащего $M2$ - и $E1$ -резонансов, а амплитуда силовой функции в резонансной области наибольшая для 0^- -состояний.

Эксперимент не дает определенных указаний на существование резонансных структур, связанных с возбуждением спин-изоспиновых состояний в нейтральном канале при энергиях возбуждения $E_x \sim 20$ МэВ. В работе [23] ((p, p') -рассечение, $E_p = 200$ МэВ, $\Theta = 4^\circ$) была исследована область энергии возбуждения $3 < E_x < 30$ МэВ ядра ^{90}Zr . В сечении ясно видны MI- ($E_x \sim 9$ МэВ) и гигантский дипольный ($E_x \sim 16$ МэВ) резонансы, но при более высоких энергиях ясно выраженных резонансных структур нет. Такой же результат получен в неупругом рассечении поляризованных протонов при $E_p = 319$ МэВ [24]. Стоит, однако, отметить, что в последнем эксперименте в области энер-

гий $8 < E_x < 25$ МэВ был обнаружен большой вклад в сечение переходов с переворотом спина. Поскольку есть основания думать, что ширина 0^+ -резонанса не чересчур велика (согласно $\Gamma \sim 5$ МэВ) и он выделяется над фоном, можно попытаться обнаружить его, увеличив статистику измерений.

Авторы благодарны Н.Ю. Ширикову за ценные консультации по оптимизации использованных программ.

Литература

1. Bowman J.D. et al. *Jour. de Physique, coll C4*, suppl. an. № 3, 45, 1984, p. 351.
2. Gaarde C. et al. *Nucl. Phys.*, 1981, A369, p. 258.
3. Osterfeld F. et al. *Phys. Lett.*, 1981, I05B, p. 257;
Bertsch G. et al. *Phys. Rev.*, 1981, C24, p. 533;
Пятов Н.И., Фаянс С.А. ЭЧАЯ, 1983, I4, с. 953;
4. Bang J. et al. Preprint NBI-84-3I, 1984, Copenhagen;
5. Kuzmin V.A., Soloviev V.G. JINR, E4-84-550, 1984, Dubna;
Гареев Ф.А. и др. ЯФ, 1984, 39, с. 1401.
6. Cha D. et al. *Nucl. Phys.*, 1984, A430, p. 321.
5. Auerbach N., Klein A. *Phys. Rev.*, 1984, C30, p. 1032.
6. Kelly J.J. Talk presented at the 1982 IUCF Workshop on the Interaction between Medium Energy Nucleons and Nuclei, Bloomington, Indiana, October 28-30, 1982;
7. Hosono K. et al. *Phys. Rev.*, 1984, C30, p. 746;
Гареев Ф.А. и др. ОИИМ, Р4-85-15I, Дубна, 1985.
7. Love W.G., Franey M.A. *Phys. Rev.*, 1981, C24, p. 1073.
8. Djalali C. et al. *Nucl. Phys.*, 1982, A388, p. I.
9. Соловьев В.Г. ЭЧАЯ, 1978, 9, с. 810;
Вдовин А.И., Соловьев В.Г. ЭЧАЯ, 1983, I4, с. 237.
10. Ponomarev V.Yu. et al. *Nucl. Phys.*, 1979, A323, p. 446.
11. Пальчик В.В. и др. ЯФ, 1981, 34, с. 903.
12. Галонов Ю.В., Лютостанский Ю.С. ЭЧАЯ, 1981, I2, с. 1324.
13. Dumitrescu T.S., Suzuki T. *Nucl. Phys.*, 1984, A423, p. 277.
14. Ponomarev V.Yu. *J. Phys. G: Nucl. Phys.*, 1984, I0, p. L177.
15. Hayakawa S.I. et al. *Phys. Rev. Lett.*, 1982, 49, p. 1624;
Mairle G. et al. *Phys. Lett.*, 1983, I2IB, p. 307;
Müller S. et al. *Phys. Rev. Lett.*, 1985, 54, p. 293.
16. Toki H. et al. *Phys. Rev.*, 1983, C28, p. 307;
Борзов И.Н. и др. ЯФ, 1984, 40, с. 1151.

17. Schwandt P. et al. *Phys. Rev.*, 1982, C26, p. 55.
18. Gareev F.A. et al. JINR, E4-84-456, 1984, Dubna;
Гареев Ф.А. и др. ЯФ, 1985, 42, с. 20.
19. Ponomarev V. Yu et al. *Z. Phys. A - Atoms and Nuclei*, 1982, 308, p. 157;
Вдовин А.И. и др. ОИИМ, Р4-81-740, Дубна, 1981.
20. Ponomarev V. Yu. et al. *Physica Scripta*, 1984, 30, p. 238.
21. Meuer D. et al. *Nucl. Phys.*, 1980, A349, p. 309.
22. Пономарев В.Д., Вдовин А.И. ОИИМ, Р4-80-392, Дубна, 1980.
23. Anantaraman N. et al. *Phys. Rev. Lett.*, 1981, 46, p. 1318.
24. Nanda S.K. et al. *Phys. Rev. Lett.*, 1983, 51, p. 1526.

Рукопись поступила в издательский отдел
25 июля 1985 года.